



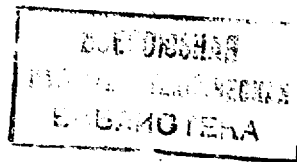
СОЮЗ СОВЕТСКИХ  
СОЦИАЛИСТИЧЕСКИХ  
РЕСПУБЛИК

(19) SU (11) 1552353

A 1

(51) 5 Н 03 Н 11/12

ГОСУДАРСТВЕННЫЙ КОМИТЕТ  
ПО ИЗОБРЕТЕНИЯМ И ОТКРЫТИЯМ  
ПРИ ГННТ СССР

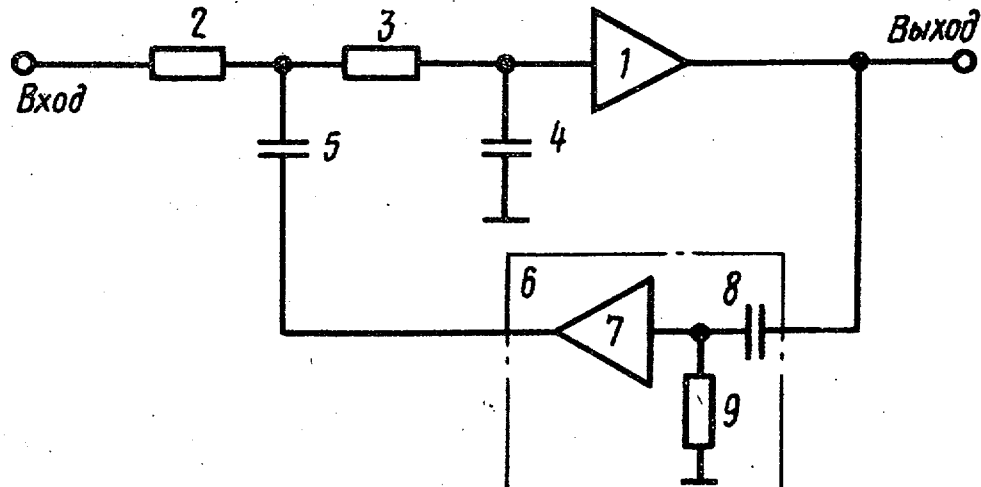


# ОПИСАНИЕ ИЗОБРЕТЕНИЯ

## К АВТОРСКОМУ СВИДЕТЕЛЬСТВУ

- 1  
(21) 4343205/24-09  
(22) 30.10.87  
(46) 23.03.90. Бюл. № 11  
(71) Минский радиотехнический институт  
(72) А.Е.Курочкин  
(53) 621.372.54 (088.8)  
(56) Хейнлейн В.Е. и Холмс В.Х. Активные фильтры для интегральных схем. - М.: Связь, 1980, рис. 7.12а.  
(54) АКТИВНЫЙ RC-ФИЛЬТР  
(57) Изобретение относится к радио-

2  
технике. Цель изобретения - повышение подавления сигналов вне полосы пропускания. Активный RC-фильтр содержит неинвертирующий усилитель 1, резисторы 2 и 3 и конденсаторы 4 и 5. Цель достигается введением фазосдвигающего звена 6, состоящего из повторителя 7 напряжения, конденсатора 8 и резистора 9, с помощью которых повышается крутизна спада АЧХ фильтра и сохраняется максимальный вносимый фазовый сдвиг  $\Delta\Phi_{\text{макс}} = 180^\circ$ . 4 ил.



Фиг.1

(19) SU (11) 1552353 A 1

Изобретение относится к радиотехнике и может быть использовано в устройствах частотной селекции радиоприемных устройств.

Цель изобретения - повышение подавления сигналов вне полосы пропускания.

На фиг.1 приведена принципиальная схема активного RC-фильтра; на фиг.2 - диаграмма нулей и полюсов АЧХ активного RC-фильтра; на фиг.3 (кривая 1) - АЧХ активного RC-фильтра; на фиг.4 (кривая 1) - частотная зависимость крутизны спада АЧХ активного RC-фильтра.

Активный RC-фильтр содержит неинвертирующий усилитель 1, первый резистор 2, второй резистор 3, первый конденсатор 4, второй конденсатор 5, фазосдвигающее звено 6, содержащее

повторитель 7 напряжения, третий конденсатор 8, третий резистор 9.

Активный RC-фильтр работает следующим образом.

Передаточная функция активного RC-фильтра описывается выражением

$$T_p = \frac{K}{p^2 \hat{\tau}^2 + p \hat{\tau} (3 - K \frac{p \hat{\tau}_{\varphi_3}}{1 + p \hat{\tau}_{\varphi_3}}) + 1}, \quad (1)$$

где  $K$  - коэффициент передачи неинвертирующего усилителя 1;

$\hat{\tau}$  =  $RC$  при условии, что номиналы первого и второго резисторов и первого и второго конденсаторов равны;

$\hat{\tau}_{\varphi_3} = R_3 C_3 - R_3$  - номинал третьего резистора 9;

$C_3$  - номинал третьего конденсатора 8.

Выражение (1), нормированное по уровню, можно записать в следующем виде:

$$\tilde{T}(p) = \frac{1 + p \hat{\tau}_{\varphi_3}}{p^2 \hat{\tau}^2 \hat{\tau}_{\varphi_3} + p^2 [\hat{\tau}^2 + \hat{\tau} \hat{\tau}_{\varphi_3} (3 - K) + p(3 \hat{\tau} + \hat{\tau}_{\varphi_3})] + 1}, \quad (2)$$

где  $T(p) = \tilde{T}(p)/K$ .

Диаграмма полюсов и нулей, соответствующая выражению (2), приведена на фиг.2.

Выражение для АЧХ определяется модулем  $T(p)$

$$|\tilde{T}(p)| = \frac{\sqrt{1 + a^2 \omega^2}}{\sqrt{(1 - b \omega^2)^2 + \omega^2 (c - d \omega^2)^2}}, \quad (3)$$

где  $a = \hat{\tau}_{\varphi_3}$ ;

$b = \hat{\tau}^2 + \hat{\tau} \hat{\tau}_{\varphi_3} (3 - K)$ ;

$c = 3 \hat{\tau} + \hat{\tau}_{\varphi_3}$ ;

$d = \hat{\tau}^2 \hat{\tau}_{\varphi_3}$ .

$$-\frac{\partial V}{\partial \gamma} = -6 \left[ \frac{a^2}{a^2 + \psi^2} - \frac{3d^2 + 2(b^2 - 2cd)\psi + (c^2 - 2b)\psi^2}{d^2 + (b^2 - 2cd)\psi + (c^2 - 2b)\psi^2 + \psi^3} \right], \quad (5)$$

где  $\psi = \omega^2$ .

Сравним выражения (2) и (5) с соответствующими выражениями для известного устройства, передаточная функция которого получена аппроксимацией по Чебышеву

$$\tilde{T}_4(p) = \frac{1}{p^2 \hat{\tau}_4^2 + p \hat{\tau}_4 (3 - K_4) + 1}, \quad (6)$$

$$\frac{\partial V_4}{\partial \gamma} = -6 \left[ \frac{2b_4^2 + (c_4^2 - 2b_4)\psi}{b_4^2 + (c_4^2 - 2b_4)\psi + \psi^2} \right]; \quad (7)$$

где  $K_4$  - коэффициент передачи усилителя;

Выражение для логарифмической АЧХ (в дБ) имеет вид

$$B = 10 \left\{ \lg(1 + a^2 \cdot 2^{2\gamma}) - \lg[1 + + d^2 \cdot 2^{6\gamma} + (b^2 - 2cd)2^{4\gamma} + (c^2 - 2b)2^{2\gamma}] \right\}. \quad (4)$$

В выражении (2) осуществлена подстановка  $\omega = 2^\gamma$ , что позволяет разбить частотную ось на октавы и получить выражение для крутизны спада АЧХ (в дБ/окт), которое легко получить из (4) путем дифференцирования по  $\gamma$

$$C_4 = \hat{\tau}_4 (3 - K_4);$$

$$b_4 = \hat{\tau}_4^2;$$

$\hat{\tau}_4$  - постоянная времени звеньев ФНЧ известного устройства.

Сравнение производят для следующих условий:  $\hat{\tau} = \hat{\tau}_4 = 1$ , неравномерность АЧХ = 3 дБ, что обеспечивается при  $K_4 = 2,23$ ;  $K = 2,6$ ;  $\hat{\tau}_{\varphi_3} = 3$ .

На фиг.3 приведены нормированные относительно частоты среза АЧХ активного RC-фильтра (кривая 1) и устройства-прототипа (кривая 2); на фиг.4 приведены частотные зависимости крутизны АЧХ обоих устройств, рассчи-

танные по выражениям (5) и (7). Как видно из зависимостей, крутизна спада АЧХ активного RC-фильтра (кривая 1) достигает на частоте  $\omega_c$  20 дБ при неравномерности АЧХ  $\Delta\omega = 3$  дБ, что превышает крутизну спада АЧХ известного устройства приблизительно на 6 дБ.

5

$$\omega_p \approx \sqrt{\frac{4\hat{\epsilon}^2\hat{\epsilon}\varphi_3(3\hat{\epsilon} + \hat{\epsilon}\varphi_3)}{2\hat{\epsilon}^2\hat{\epsilon}\varphi_3}}; \quad (9)$$

$$\tilde{G}_2 = -\frac{1}{\hat{\epsilon}\varphi_3}; \quad (10)$$

$$\tilde{G}_3 = -\frac{1}{3\hat{\epsilon} + \hat{\epsilon}\varphi_3}. \quad (11)$$

Из выражений (8) – (11) можно установить следующее: при  $\Delta\omega = \text{const}$  нуль  $\tilde{G}_2$  по сравнению с полюсами находится на значительном удалении от мнимой оси, что позволяет пренебречь

15

им при расчетах в пределах полосы прозрачности.

Например, для  $\hat{\epsilon}\varphi_3 = 0,01$  получают

$$\tilde{G}_1 = -15;$$

$$\omega_p = 8,6$$

$$\tilde{G}_2 = -100;$$

$$\tilde{G}_3 = -0,33,$$

т.е. нулем можно пренебречь, а выражение (2) можно записать в виде

$$\tilde{T}(p) \approx \frac{1}{p^3\hat{\epsilon}^2\hat{\epsilon}\varphi_3 + p^2[\hat{\epsilon}^2 + \hat{\epsilon}\hat{\epsilon}\varphi_3(3 - K)] + p(3\hat{\epsilon} + \hat{\epsilon}\varphi_3) + 1}. \quad (12)$$

Это очень важная особенность активного RC-фильтра, так как, изменяя положение нуля  $\tilde{G}_2$  с помощью  $\hat{\epsilon}\varphi_3$ , в районе частоты среза повышается порядок системы (появляются 3 полюса), что позволяет повысить крутизну спада АЧХ и приблизить ее к крутизне спада АЧХ фильтра третьего порядка с заданным значением  $\Delta\omega$ . Диапазон изменения вносимого фазового сдвига можно установить из (1) при  $p = 0$  и  $p \neq \pm\infty$ . При  $p = 0$ , как видно из выражения, получают  $\Delta\varphi = 0$ , а при  $p = \infty$  получают

$$T(p = \infty) \approx \frac{K}{p^2\hat{\epsilon}^2 + 3p\hat{\epsilon} + 1}, \quad (13)$$

что соответствует  $\Delta\varphi_{\max} = 180^\circ$  для ФНЧ второго порядка.

Таким образом предложенное устройство позволяет повысить крутизну спада АЧХ и сохранить максимальный вносимый фазовый сдвиг  $\Delta\varphi_{\max} = 180^\circ$ .

30

#### Ф о р м у л а и з о б р е т е н и я

Активный RC-фильтр, содержащий последовательно соединенные первый резистор, второй резистор и неинвертирующий усилитель, вход которого через первый конденсатор соединен с общей шиной, а выход является выходом активного RC-фильтра, первый вывод первого резистора является выходом активного RC-фильтра, а с вторым выводом первого резистора соединен первый вывод второго конденсатора, от ли- чающийся тем, что, с целью повышения подавления сигналов вне полосы пропускания, введено фазосдвигающее звено, вход которого соединен с выходом неинвертирующего усилителя, а выход соединен с вторым выводом второго конденсатора, а фазосдвигающее звено выполнено в виде последовательно соединенного третьего конденсатора и повторителя напряжения, вход которого соединен через третий резистор с общей шиной.

Причины повышения крутизны спада АЧХ предложенного устройства можно выявить из анализа диаграммы расположения полюсов и нулей (фиг.2).

Положения полюсов и нуля можно определить по следующим приближенным выражениям

$$\tilde{G}_1 \approx \frac{\hat{\epsilon}^2 + \hat{\epsilon}\hat{\epsilon}\varphi_3(3 - K)}{2\hat{\epsilon}\hat{\epsilon}\varphi_3}; \quad (8)$$

$$\omega_p \approx \sqrt{\frac{4\hat{\epsilon}^2\hat{\epsilon}\varphi_3(3\hat{\epsilon} + \hat{\epsilon}\varphi_3)}{2\hat{\epsilon}^2\hat{\epsilon}\varphi_3}}; \quad (9)$$

15

20

25

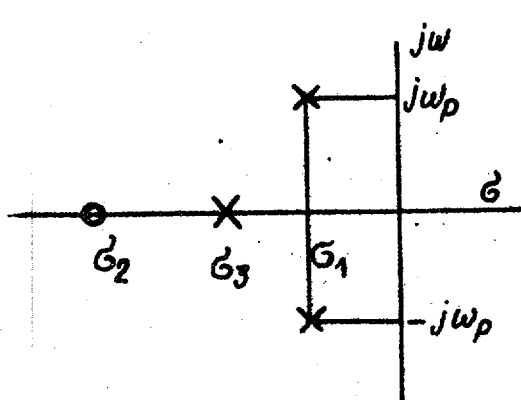
30

35

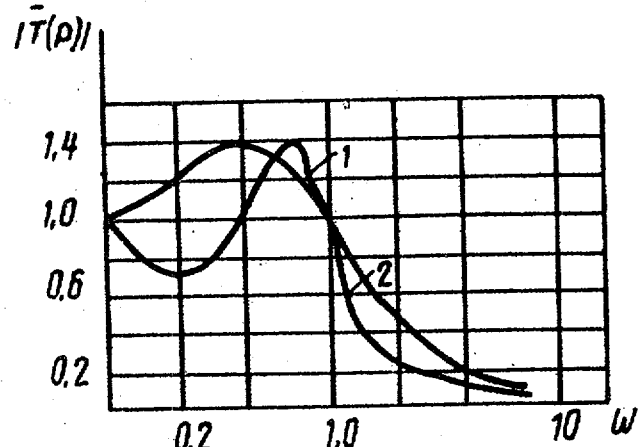
40

45

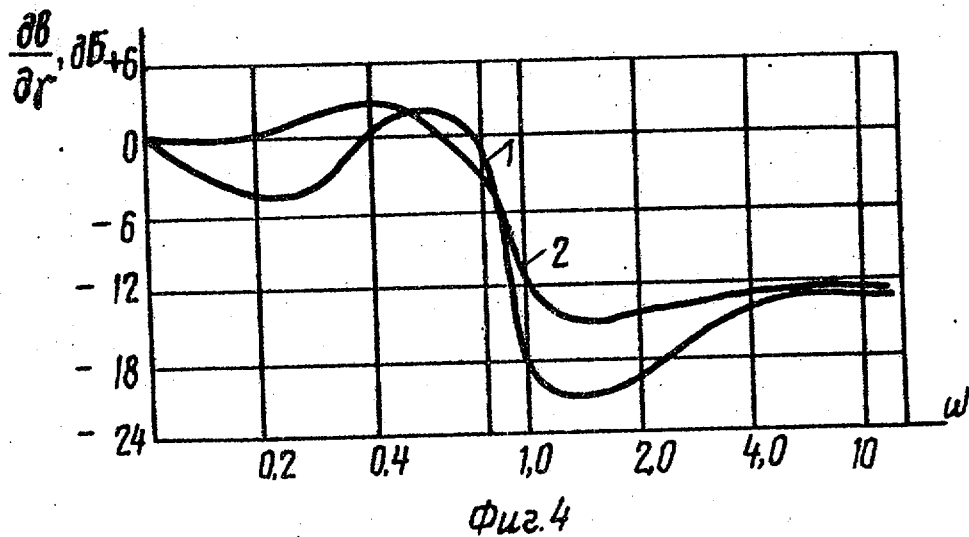
50



Фиг.2



Фиг.3



Фиг.4

Составитель Ю.Чернышов

Редактор А.Мотыль

Техред М.Дидык

Корректор А.Обручар

Заказ 339

Тираж 651

Подписанное

ВНИИПТИ Государственного комитета по изобретениям и открытиям при ГКНТ СССР  
113035, Москва, Ж-35, Раушская наб., д. 4/5

Производственно-издательский комбинат "Патент", г. Ужгород, ул. Гагарина, 101